

ЛИТЕРАТУРА

1. Минскер К. С., Пахомова И. К. Высокомолек. соед. А, 1969, т. 11, № 3, с. 646.
2. Варбанская Р. А., Пудов В. С. Высокомолек. соед. Б, 1981, т. 23, № 3, с. 211.
3. Толкс А. М., Пудов В. С. Высокомолек. соед. Б, 1970, т. 12, № 12, с. 896.
4. Пудов В. С., Нейман М. Б. Нефтехимия, 1963, т. 3, № 3, с. 750.
5. Кузьминский А. С., Лежнев Н. Н., Зуев Ю. С. Окисление каучуков и резин. М.: Госхимиздат, 1957, с. 50.
6. Эмануэль Н. М., Денисов Е. Т., Майзус З. К. Цепные реакции окисления углеводородов в жидкой фазе. М.: Наука, 1965, с. 11.
7. Касацкина О. Т. Дис. на соискание уч. ст. канд. хим. наук. М.: ИХФ АН СССР, 1979, с. 77.

Институт химической физики
АН СССР

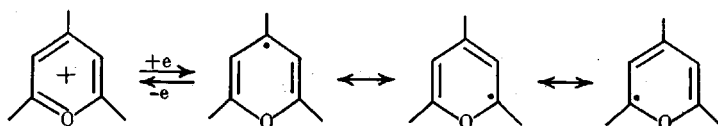
Поступила в редакцию
14.IX.1983

УДК 541.64:54-128.4

ПИРИЛИЕВЫЕ СОЛИ В СИНТЕЗЕ ПОЛИМЕРОВ, СОДЕРЖАЩИХ КАТИОННЫЕ ГРУППИРОВКИ

Дзараева Л. Б., Катаев В. А., Климов Е. С.,
Берберова Н. Т., Охлобыстин О. Ю.

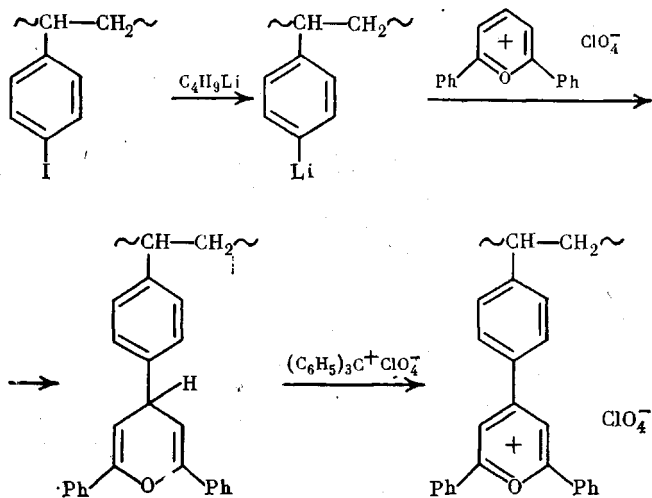
Пирилиевые соли, методы синтеза которых к настоящему времени разработаны весьма обстоятельно [1], служат удобными исходными веществами для получения широкого круга органических веществ [2], однако в химии высокомолекулярных соединений они до сих пор не применялись. Тем не менее введение пирилиевых катионов в боковые группы полимеров во многих отношениях может представить определенный интерес. Во-первых, обратимое одноэлектронное восстановление некоторых пирилиевых катионов приводит к стабильным свободным радикалам (пиранилам), обладающим свойствами сильных восстановителей [3]



Таким образом, открывалась бы возможность получения стабильных макрополирадикалов и далее «электронообменных» смол (редокситов). Во-вторых, легко идущая замена гетероатома в пирилиевом кольце [1] сделала бы доступным широкий круг полимеров, содержащих пиридиновые, диазепиновые, тиопирилиевые и другие гетероарomaticкие группировки; такие полимеры используются или могут быть использованы в качестве полимерных электролитов и ионообменных мембран [4].

В этой связи в настоящей работе предпринята попытка ввести пирилиевые катионы в ароматические кольца ПС. Для достижения этой цели был использован литийполистирол, полученный обменной реакцией между *n*-иодполистиролом и бутиллитием [5]. Как известно, взаимодействие активных металлоорганических соединений с γ -незамещенными пирилиевыми солями приводит к соответствующим 4Н-пиранам, окислительное дегидрирование которых позволяет получать γ -замещенные соли [1]. Этот прием и был использован для получения 4-(2,6-дифенилпирилий)полистирола,

выделенного в виде полиперхлората



Использовали иодполистирол [6], содержащий 75% иодированных звеньев при $M=186\,500$.

Литийполистирол получали обработкой иодполистирола рассчитанным количеством бутиллития в бензole [5].

n-(2,6-Дифенил-4Н-пириан-4)полистирол получали постепенным добавлением супсепзии перхлората 2,6-дифенилпирилия [1] в бензole к бензольному раствору литийполистирола в эквивалентных соотношениях (0,005 моля перхлората, атмосфера аргона, перемешивание). После растворения пирилиевой соли бензол удаляли в вакууме, остаток (*4Н*-пирилилполистирол) растворяли в минимальном количестве ледяной уксусной кислоты. Дегидрирование полимерного 4Н-пирана проводили добавлением двойного избытка тритилперхлората [1] с последующим нагреванием смеси до кипения (5 мин). Выпавший при охлаждении осадок перхлората *n*-(2,6-дифенилпирилий-4)полистирола переосаждали из ледяной CH₃COOH и высушивали в вакууме; это красно-коричневое твердое вещество с $T_{размягч}=210-220^\circ$ (с разложе-

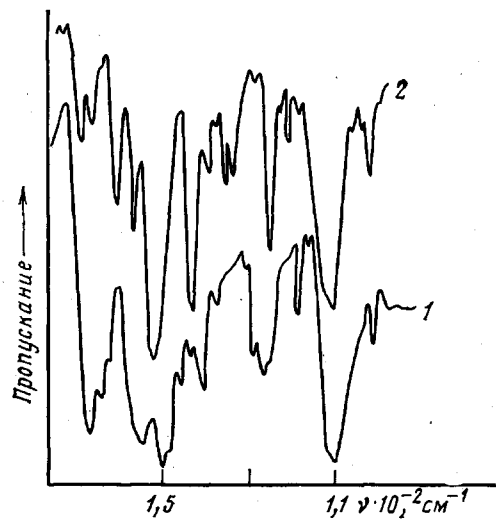


Рис. 1

Рис. 1. ИК-спектры перхлората 2,4,6-трифенилпирилия (1) и γ -пирилийполистирола (2)

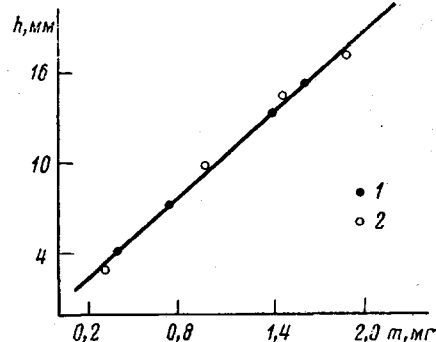


Рис. 2

Рис. 2. Зависимость высоты полярографической волны от содержания пирилиевых катионов в γ -пирилийполистироле: 1 – содержание пирилиевых катионов в γ -пирилийполистироле; 2 – калибровочный график для перхлората дифенилпирилия

нием), умеренно растворимо в ацетонитриле, нитрометане, тетрахлорэтилене, ледяной CH_3COOH , нерастворимо в эфире, бензole и трифтормуксусной кислоте, легко кристаллизуется при охлаждении горячих растворов в ледяной CH_3COOH .

γ -Пирилийполистирол идентифицирован сопоставлением ИК-спектра полимера и перхлората трифенилпиридиля (рис. 1).

Поскольку для пирилиевых солей характерна способность к легкому электрохимическому восстановлению [7], представлялось возможным применять для определения числа звеньев, содержащих катионные центры, полярографический метод. В качестве модельного соединения был использован перхлорат 2,4,6-трифенилпиридиля [1], для которого построили калибровочный график в координатах ток I – концентрация (рис. 2). Полученный γ -пирилийполистирол восстанавливается в ацетонитриле на ртутном капающем электроде при потенциале полуволны $E_{1/2}=0,4–0,7$ В относительно насыщенного каломельного электрода (растянутая многоэлектронная волна). По величине катодного тока с учетом концентрации раствора была определена кажущаяся концентрация пирилиевых катионов, т. е. их содержание в навеске полимера.

Данные элементного анализа (найдено, %: Cl 6,52) и полярографические измерения показали сходящийся результат: превращение иодполистирола в γ -пирилийполистирол протекает с количественным выходом и приводит к полимеру, содержащему 75% пирилированных центров.

Препаративное восстановление полученного γ -пирилийполистирола цинковой пылью в ацетонитриле приводит к полирадикалу пирильного типа. Методом ЭПР (модифицированный радиоспектрометр) зафиксирован интенсивный синглетный сигнал макрорадикала с $\Delta H=6,4$ Гц и $g=2,003$ (рис. 3). Для определения числа парамагнитных звеньев была использована способность пиринилов восстанавливать арилдiazоневые соли с выделением азота [8].

При добавлении раствора полирадикала в ацетонитриле (из 1,02 г пирилийполистирола) к избытку хлористого фенилдiazония (в воде) выделилось 31,5 мл азота (вычислено 32,25 мл); следовательно, превращение

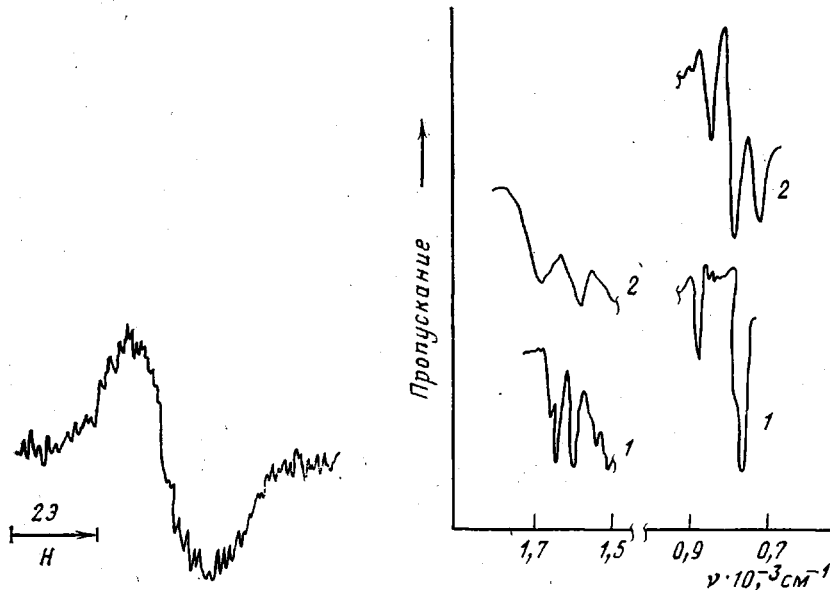


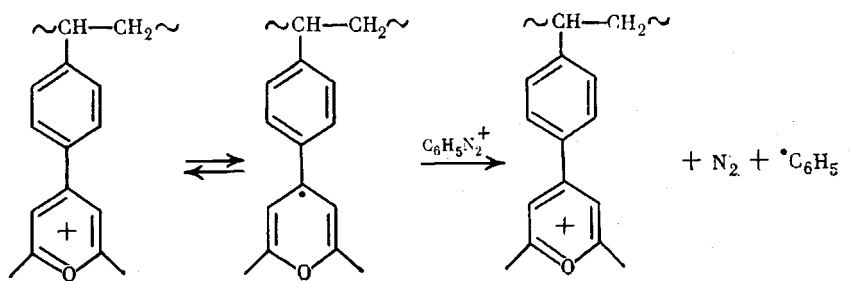
Рис. 3

Рис. 4

Рис. 3. Спектр ЭПР восстановленного пирилиевого макрокатиона цинковой пылью в ацетонитриле при 25°

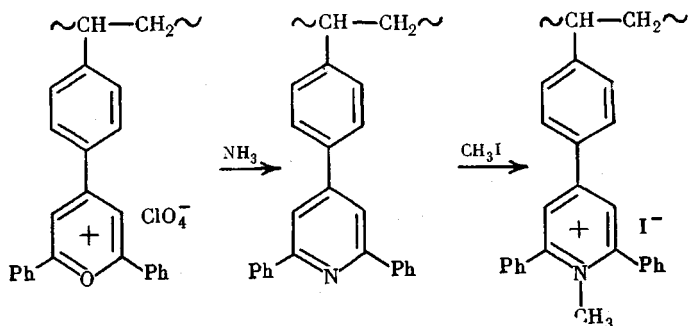
Рис. 4. ИК-спектры иодметилата 2,4,6-трифенилпиридиля (1) и γ -пиридинийполистирола (2)

поликатиона в полирадикал и обратно также протекает количественно.



Определение числа радикальных центров методом ЭПР дает величину несколько заниженную (60–65), что связано с обменным взаимодействием неспаренных электронов в макрорадикале. В качестве стандарта использовали 2,2,6,6-тетраметилпиперидон-1-оксил.

Замена гетероатома на азот легко достигается обработкой γ -пирилий-полистирола водным аммиаком; полученный γ -пиридилиполистирол кватеризован иодистым метилом



Пиридинийсодержащий полимер идентифицирован сравнением ИК-спектров полимера и иодида N-метил-2,4,6-трифенилпиридиния, полученного из 2,4,6-трифенилпирилия тем же методом (рис. 4).

n-(2,6-Дифенилпириди-4)-полистирол получали выдерживанием 1 г γ -пирилий-полистирола в 25 мл 25%-ного водного раствора аммиака в течение 24 ч. Выход сухого продукта количественный, т. пл. 75°. Найдено, %: С 89,11; Н 7,02; N 2,86. [C₁₇H₁₂N]. Вычислено, %: С 90,38; Н 7,42; N 3,81.

Подметили *n*-(2,6-дифенилпириди-4)-полистирола получали нагреванием навески (1 г) γ -пиридилиполистирола в тройном избытке (2,5 г) иодистого метила в запаянной ампуле на кипящей водяной бане в течение 1 ч. Продукт реакции высаждали в гексан, осадок отфильтровывали, высущенный в вакууме, т. пл. 80–85°. Это твердое вещество темно-красного цвета хорошо растворимо в ацетоне, ацетонитриле, толуоле. Найдено, %: С 66,61; Н 4,45; N 1,91; I 23,2 [C₁₈H₁₅NI]_n. Вычислено, %: С 67,53; Н 4,77; N 2,74; I 24,14.

Перхлорат 2,6-дифенилпирилия синтезировали по методике [1], т. пл. 230° (из ледяной CH₃COOH). Найдено, %: С 60,03; Н 4,90; Cl 10,11. [(C₁₇H₁₃O₅Cl)_n]. Вычислено, %: С 61,35; Н 5,11; Cl 10,68. Перхлорат 2,4,6-трифенилпирилия синтезировали по методике [1], т. пл. 273° (из хлороформа). Найдено, %: С 66,70; Н 4,90; Cl 7,60. (C₂₃H₁₇O₅Cl). Вычислено, %. С 67,56; Н 4,16; Cl 8,69. *n*-Иодполистирол получали по методике [6]. Найдено, %: С 34,73; Н 2,07; I 46,68.

Таким образом, ряд основных синтетических приемов, разработанных в препаративной химии пирилиевых солей, может быть успешно применен в синтезе модифицированных полистиролов и свободных полирадикалов на их основе. Для определения числа катионных центров в полимере может быть использован полярографический метод.

ЛИТЕРАТУРА

1. Дорофеенко Г. Н., Садекова Е. И., Кузнецов Е. В. Препартивная химия пиролиевых солей. Ростов н/Д: Изд-во Рост. ун-та, 1972.
2. Бельский И. Ф., Дорофеенко Г. М., Простаков Н. С., Шерстюк В. П., Чумаков Ю. И. Гетероциклы в органическом синтезе. Киев: Техника, 1970, с. 108.
3. Панов В. Б., Нехорошев Н. В., Охлобыстин О. Ю. Докл. АН ССР, 1978, т. 243, № 2, с. 372.
4. Физика электролитов / Под ред. Хладик Дж. М.: Мир, 1978, с. 425.
5. Braun D. Angew. Chemie, 1961, B. 73, № 1, S. 197.
6. Braun D. Makromolek. Chem., 1959, B. 30, № 1, S. 85.
7. Берберова Н. Т. Автореф. дис. на соискание уч. ст. канд. хим. наук. Ростов н/Д: Изд-во Рост. ун-та, 1980.
8. Левит А. Ф., Киприанова Л. А., Богилло В. И., Нехорошев М. В., Панов В. Б., Грагеров И. П., Охлобыстин О. Ю. Ж. орган. химии, 1979, т. 15, № 10, с. 2246.

Северо-Осетинский государственный
университет им. К. Л. Хетагурова

Поступила в редакцию:
14.IX.1983:

УДК 541.64:536.7

ДИАГРАММА СОСТОЯНИЯ СИСТЕМЫ БЛОЧНЫЙ ПОЛИУРЕТАН – ДИМЕТИЛФТАЛАТ

Петъков В. И., Рабинович И. Б., Зарудаева С. С.

Данная работа является частью исследования модификации свойств блочного полиуретана путем смешения его с другими полимерами и пластификации и посвящена калориметрическому изучению фазового состава системы блочный полиуретан (БПУ) – диметилфталат (ДМФ).

БПУ марки ТПУ-14МЭ (ТУ 6-05-221-526-80) получали сополимеризацией в масле 4,4'-дифенилметандиизоцианата (МДИ), 1,4-бутиленгликоля (БГ) и олигоэтиленбутиленгликольадипината (ОЭБА) с $M=2200$, взятых в мольном отношении 4:3:1 соответственно. Элементный анализ БПУ: найдено, %: С 61,9; Н 7,0; Н 3,4; О 27,7; вычислено, %: С 61,5; Н 6,9; Н 3,2; О 28,4. ДМФ марки ч. дополнительно очищали по методике [1], фракционировали в вакуумной колонке при 2,67 кПа и отбирали фракцию, кипевшую при 435 К. Эта фракция имела при 293 К плотность 1189,3 кг·м⁻³, показатель преломления n_D^{20} 1,5158, что соответствовало надежным литературным данным [2].

Образцы системы, содержащие до 25 вес.-% пластификатора, готовили смешением компонентов в пластографе Брабендора при 473 К. Образцы композиций, содержащие более 25 вес.-% ДМФ, готовили смешением компонентов и выдерживали смеси в термостате при 470 К в течение 4–6 ч.

Теплоемкость C_p° в области 80–330 К изучали в вакуумном адиабатическом калориметре [3] с погрешностью 0,5%. Прибор и методика ДТА описаны в работе [4]. Масса образцов в опытах по ДТА составляла (5–8) · 10⁻⁴ кг, скорость нагревания 0,055 К·с⁻¹.

На кривых $C_p^\circ=f(T)$ и ДТА (рис. 1 и 2) исходного БПУ отчетливо проявляются две области расстеклования (225–250 и 310–325 К), что обусловлено гетерогенностью данного блок-сополимера [5, 6]. T_c фазы мягких блоков, образованных участками цепей ОЭБА, составляла 237 К; T_c фазы жестких уретановых блоков, образованных БГ и МДИ, 320 К. В области 450–520 К на кривой ДТА исходного БПУ обнаружены еще два эндотермических эффекта с максимумами при 470 и 506 К. Для выяснения природы этих аномалий было изучено влияние на них термической предыстории образцов полимера. Для образца БПУ, полученного